

$St.3 > St.2 > St.1$ というイオン濃度による総合的な位置関係を示したが、この値と流量を用いて以下の操作を行ない、汚濁総合指標を算定した。

i) 汚濁源と希釈源の判定基準を St.7 とし、St.7 との得点の差で、質的な大きさ Z_{1i} を表現する。

$$Z_{1i} = Z_{1i} - Z_{17} \quad (i = 1 \sim 6)$$

ii) 同じく St.7 を基準とし、St.7 に占める各地点の流量比で、量的な大きさ Q_i を表現する。

$$Q_i = Q_i / Q_7 \times 100 \quad (i = 1 \sim 6)$$

iii) この Z_{1i} と Q_i の積を汚濁総合指標 $P(i)$ とすると、この $P(i)$ は負荷量的意味合いを持ち、 $|P(i)|$ でその状態の程度が表わされる。

$$P(i) = Z_{1i} \times Q_i \quad (i = 1 \sim 6)$$

$P(i) > 0$ の時 汚濁グループ

$P(i) < 0$ の時 希釈グループ

図-2のように縦軸に Q_i 、横軸に Z_{1i} をとると、各地点の $P(i)$ はそれぞれの軸におよした垂線を二辺とする長方形の面積で表わされる。求めた $P(i)$ の結果を表-3に示す。これにより、汚濁グループと St.4, St.5, St.6, 希釈グループとして St.1, St.2, St.3 と区別された。

(3) クラスター分析 次に、St.1～St.6までの Av. $P(i)$ を指標として、クラスター分析(平均連結法)を行ない、各地点の類似性から St.7 に対する影響力の評価を試みた。デンドログラムを図-3に示す。Av. $P(i)$ だけでなく、他の調査時期でも同様の結果が得られる。 $P(i)$ では、St.4, St.6 は汚濁グループ、St.2, St.3 は希釈グループに属していたが、この結果より 4 地点間の類似性は非常に高く、影響力が比較的小さい別のグループを形成していることが示された。

3. 考察 主成分分析とクラスター分析の適用により、阿蘇黒川水系 St.1～St.6 の支流河川は汚濁グループと希釈グループに群別され、特に汚濁グループの中では St.5 が、希釈グループの中では St.1 が明確な特徴を示すものとして区別できた。ここで、St.5, St.1 がそれぞれの属するグループ全体に及ぼす影響の度合いを下記の $I(i)$ で明確に数値化する。

$$I(i) = P(i) / \sum (\text{汚濁または希釈グループの } P(i)) \times 100 [\%]$$

これによると、汚濁については、平均値で St.5 が $I(5) = 87.8\%$ 、希釈については、平均値で St.1 が $I(1) = 91.5\%$ と高い値を示し、それぞれの影響が大きいことがわかる。したがって、黒川水系の汚濁源は St.5、希釈源は St.1 であることが明らかになった。このように阿蘇黒川水系の汚濁源・希釈源の判定には、主成分分析とクラスター分析の適用が有効であり、阿蘇黒川水系の水質浄化問題に関しては、汚濁源 St.5 と希釈源 St.1 の調査検討から着手すればよいことが証明された。

4. おわりに 今後はこの手法が他の河川に対し有効であるか、またどのような条件のもとで有効性を持ち得るのかの検討を行ない、さらに簡便で正確な汚濁評価手法を求めたいと考えている。

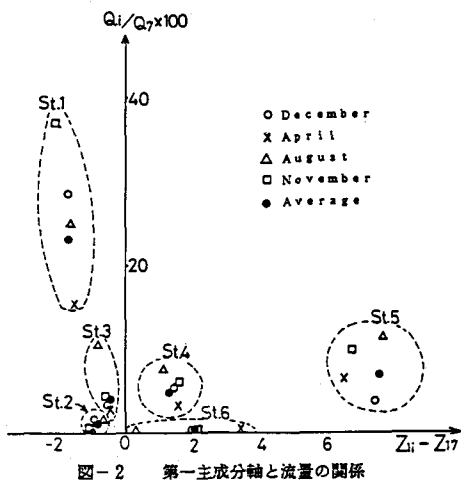


図-2 第一主成分軸と流量の関係

表-3 調査地点の $P(i)$

	Dec.	Apr.	Aug.	Nov.	Avg.
St.1	-48.94	-23.55	-41.22	-80.17	-39.12
St.2	-1.77	-0.74	-1.22	-0.78	-1.05
St.3	-2.15	-1.14	-9.26	-2.16	-2.59
St.4	7.79	5.88	8.00	9.39	6.68
St.5	29.26	42.54	44.74	69.05	53.90
St.6	0.83	1.43	0.18	0.20	0.81

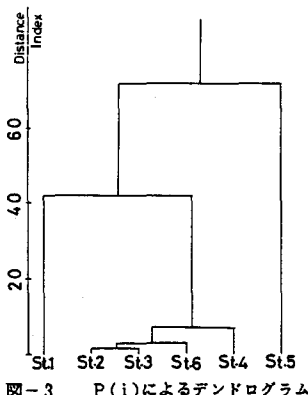


図-3 $P(i)$ によるデンドログラム